

ДОСЛІДЖЕННЯ ІМПУЛЬСНОГО РЕЖИМУ РОБОТИ П'ЄЗОЕЛЕКТРИЧНОГО ПЕРЕТВОРЮВАЧА

М. М. Семеген, З. П. Лютак

*Івано-Франківський національний технічний університет нафти і газу, вул. Карпатська,
15, м. Івано-Франківськ, 76019, тел. (03422) 4-60-77*

Представлена удосконалена модель розрахунку амплітудно-частотної характеристики сигналів ультразвукових пристрій. Описаний метод розрахунку переходного процесу в електроакустичному тракті пристроя в режимах випромінювання та приймання. Приведена оцінка отриманих амплітудно-частотних характеристик системи.

Ключові слова: п'єзoeлектричний перетворювач, луно-сигнал, ультразвуковий метод контролю, імпульсний режим, амплітудно-частотна характеристика, еквівалентна схема.

Представлена усовершенствованная модель расчета амплитудно-частотной характеристики сигналов ультразвуковых устройств. Описан метод расчета переходного процесса в электроакустическом тракте устройства в режимах излучения и приема. Приведена оценка сходимости полученных амплитудно-частотных характеристик системы.

Ключевые слова: пьезоэлектрический преобразователь, эхо-сигнал, ультразвуковой метод контроля, импульсный режим, амплитудно-частотная характеристика, эквивалентная схема.

The approach to account of decibel-log frequency characteristic of cues of defect scopes is observed. The transient phenomenon design technique in an electro acoustical section of a defect scope in emanation and reception regimes is presented. The estimation of convergence of the received decibel-log frequency characteristics of system is resulted.

Keywords: piezoelectric transformer, echo-signal, ultrasonic method of control, pulse-mode, gain-frequency description, equivalent chart.

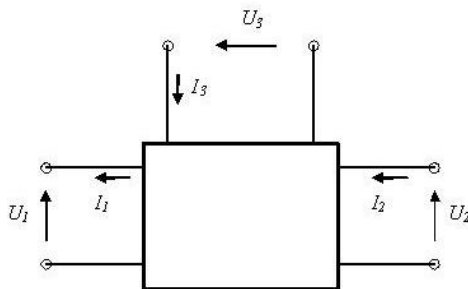
П'єзoeлектричний перетворювач є основним вузлом при дослідженні фізико-механічних характеристик матеріалів ультразвуковим методом. При цьому, оцінку фізико-механічних властивостей виконують в залежності від параметрів прийнятого луно-сигналу для необхідного настроювання вторинних приладів, які проводяться на основі параметрів даних перетворювачів [1]. В більшості випадків в якості таких параметрів приймається амплітуда імпульсу або його часове положення. При дослідженні п'єзoeлектричного перетворювача вхідними даними є механічні, електромеханічні й електричні характеристики використаних матеріалів при заданих умовах застосування перетворювача. Необхідно також знати ресурс роботи і зміну їх характеристик. У багатьох випадках потрібно проводити коригування параметрів вторинних приладів у процесі експлуатації системи контролю відповідно до зміни характеристик перетворювача. Тому необхідно досліджувати режим роботи п'єзоперетворювача, що може бути проведено на основі аналізу його роботи в імпульсному

режимі [2].

Вказана задача є досить складною, так як згадані характеристики визначаються параметрами електронних блоків ультразвукових пристрій, зокрема, генератором та підсилювачем електроакустичного перетворювача та його тракту. Для того, щоб в результаті контролю отримати високу чутливість та точність вимірювань, необхідно з достатньою точністю описати роботу електроакустичного тракту дефектоскопа у часовій області. Однак до цього часу ця задача в повній мірі не вирішена. Відомі роботи, в яких розглядаються проблеми імпульсного режиму роботи п'єзoeлектричного перетворювача [3]. Методи, які базуються на застосуванні перетворення Лапласа [4] та інтеграла Фур'є [5], досить трудомісткі для розрахунку навіть простих схем вмикання п'єзoeлектричних перетворювачів. Викликано це тим, що вирішення таких задач є складною проблемою, оскільки відповідні рішення описати в аналітичному вигляді часто неможливо, а чисельні методи вирішення вимагають багато

часу і тому не завжди задовільні. Цей факт став основою для запропонованого підходу до розрахунку амплітудно-частотної характеристики сигналів дефектоскопів.

Розглянемо роботу чутливого елемента первинного перетворювача. При подаванні на електроди напруги у вигляді пікового імпульсу внаслідок п'єзоектиу пластина починає коливатись. У нашому випадку розглянемо поздовжні коливання, при яких п'єзопластина починає зміщуватись у напрямку поширення коливань. В цьому випадку чутливий елемент можна представити як електричну схему-аналог у вигляді шестиполюсника, в якому одному входу відповідає електрична складова, а двом іншим – дві поверхні п'єзопластини (рис. 1).



U_1, U_2 – напруги шестиполюсника, що відповідають силі деформації чутливого елемента; I_1, I_2 – струми шестиполюсника, які відповідають швидкості руху поверхні чутливого елемента; U_3, I_3 – напруга та струм на електродах чутливого елемента

Рисунок 1 - Еквівалентна схема роботи чутливого елемента первинного перетворювача у вигляді шестиполюсника

Розкриття електричної схеми-аналога чутливого елемента здійснено Н. Мезоном [6], при якому процес утворення коливання чутливого елемента внаслідок подавання електричного імпульсу на електроди представляється коливальним контуром паралельно з'єднаних конденсатора та катушки індуктивності. Більш удосконалену схему-аналог роботи чутливого елементу представлено в [1], де враховано навантаження проміжного шару, демпфера та об'єкта, в який вводяться ультразвукові коливання [1]. Недоліком представленої в [1] електричної схеми-аналогу є те, що в ній коливання чутливого елемента є ідеалізованими і продовжуються в часі без зменшення амплітуди. У реальному чутливому елементі коливання, що утворюються піковим електричним імпульсом, загасають в часі.

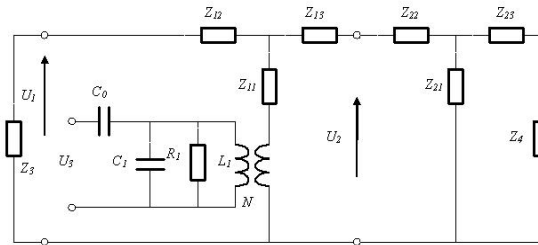
Для удосконалення схеми-аналогу

пропонуємо ввести в резонансний контур додатково резистор, що буде моделювати загасання коливань чутливого елемента, зменшення добротності коливального контура і відповідно зменшення тривалості його коливального процесу (рис. 2).

Ємність чутливого елементу обчислюється так [7]:

$$C_0 = \frac{\varepsilon^s A}{L}, \quad (1)$$

де A – площа поверхні чутливого елемента, L – товщина чутливого елемента, ε^s – діелектрична проникність чутливого елемента.



Z_{11}, Z_{12}, Z_{13} – опори, що відповідають затримці сигналу внаслідок поляризації чутливого елемента; Z_{21}, Z_{22}, Z_{23} – опори, що відповідають затримці сигналу в проміжному шарі; Z_3 – опір демпфера; Z_4 – опір об'єкта в який вводиться ультразвукова хвилья; C_0, L_1, R_1 – електричні елементи, що утворюють коливання чутливого елемента; N – коефіцієнт трансформації ідеального трансформатора, що відповідає електромеханічному перетворенню в чутливому елементі; C_0 – ємність чутливого елемента

Рисунок 2 - Електрична схема-аналог чутливого елемента ультразвукового первинного перетворювача

Електричні параметри паралельного резонансного контура визначаються так [7]:

$$C_1 = \frac{C_0}{k_T^2}, \quad L_1 = \frac{k_T^2}{\omega^2 C_0}, \quad (2)$$

де k_T – коефіцієнт п'єзоелектричного зв'язку, ω – частота коливань чутливого елемента.

Величина опору R_1 вибирається із умови кількості коливань паралельного резонансного контура із амплітудою, не менше заданої. Коефіцієнт трансформації ідеального трансформатора знаходимо із такого співвідношення:

$$N = eA/L, \quad (3)$$

де e – п'єзоелектрична константа механічних

напружень при відсутності прикладеного електричного поля.

Опори Z_3 та Z_4 відповідають акустичним імпедансам матеріалам відповідно демпфера та об'єкта введення ультразвукової хвилі.

Опори поверхні чутливого елемента обчислюються так:

$$Z_{12} = Z_{13} = jZ_c \tan\left(\frac{\beta_a L}{2}\right),$$

$$Z_{11} = jZ_c \operatorname{cosec}(\beta_a L),$$

$$\beta_a = \omega \sqrt{\frac{\rho}{c^D}}, \quad Z_c = A \sqrt{\rho c^D}, \quad (4)$$

де Z_c – акустичний імпеданс п'єзопластини, β_a – константа поширення акустичної хвилі в п'єзоматеріалі, ρ – густина п'єзоматеріалу, c^D – пружна константа п'єзоматеріалу при відсутності прикладеного електричного поля.

Опори, що відповідають за поширення ультразвукових коливань в проміжному шарі, обчислюються так:

$$Z_{22} = Z_{23} = jZ_{csh} \tan\left(\frac{\beta_{ash} L_{sh}}{2}\right),$$

$$Z_{21} = jZ_{csh} \operatorname{cosec}(\beta_{ash} L_{sh}),$$

$$\beta_{ash} = \frac{\omega}{c_{lsh}}, \quad Z_{csh} = A \rho_{sh} c_{lsh}, \quad (5)$$

де Z_{csh} – акустичний імпеданс проміжного шару, β_{ash} – константа поширення акустичної хвилі в проміжному шарі, ρ_{sh} – густина проміжного шару, ω – частота, c_{lsh} – швидкість поширення ультразвукової поздовжньої хвилі в проміжному шарі, L_{sh} – товщина проміжного шару.

Як матеріал п'єзопластини для проведення розрахунків було використано чутливий елемент ЦТС-5А. Вхідні дані для проведення розрахунку приведені в табл. 1.

Схема-аналог розраховувалась виходячи з того, що струм I , який протікає через конденсатор ємністю C та катушку індуктивності L , є таким:

$$I = C \frac{dU}{dt}, \quad I = L \frac{dU}{dt}, \quad (6)$$

де U – напруга, t – час.

Для проведення розрахунків імпульс генератора моделювався у вигляді пікового сигналу великої амплітуди (рис. 3).

Результатуючі коливання в залежності від величини опору R_1 показані на рис. 4. Напруга визначалась на виході проміжного шару та на вході в матеріал досліджуваного об'єкта (Z_4).

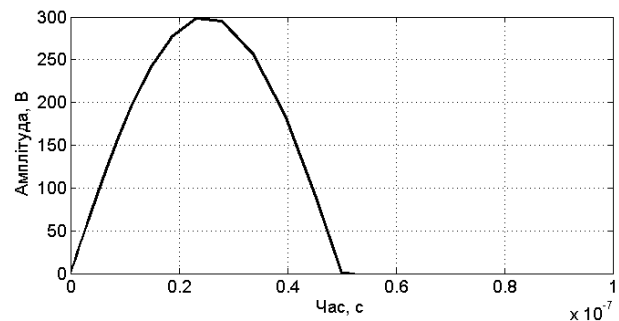


Рисунок 3 - Збуджуючий імпульс генератора напруги чутливого елемента

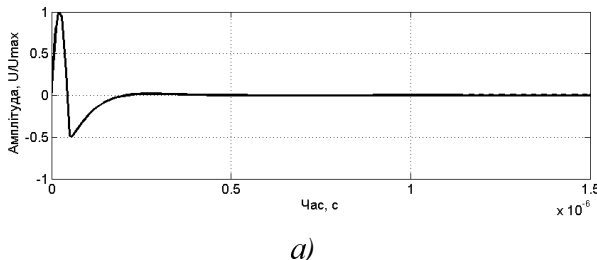
Таблиця 1 - Вхідні параметри проведення розрахунку чутливого елемента

Назва параметра	Значення
L , м	$7,6 \cdot 10^{-4}$
Радіус п'єзопластини, м	$2,5 \cdot 10^{-3}$
Частота, МГц	2,5
ρ , кг/м ³	7,75
e , Кл/м ²	15,8
c^D , Н/м ²	$14,7 \cdot 10^{10}$
k_T	0,49
ρ_{sh} , кг/м ³	1190
c_{lsh} , м/с	2700
L_{sh} , м	$6,802 \cdot 10^{-3}$
Густина сталі, кг/м ³	7,85
Швидкість поздовжньої ультразвукової хвилі в сталі, м/с	5900

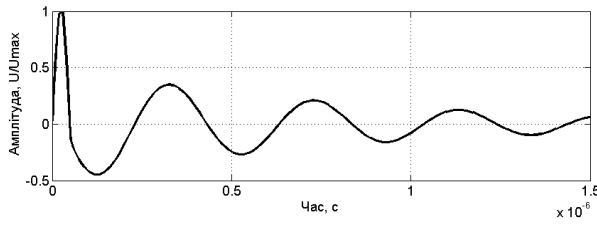
Як можна побачити із рис. 4, опір R_1 вносить зміни у робочу частоту коливання чутливого елемента. При малому значенні опору R_1 (рис. 4,а), коливання мають різкий загасаючий характер. Це вказує на значні механічні втрати чутливого елемента. Протилежний випадок роботи чутливого елемента показаний на рис. 4, б, де механічні втрати при перетворенні електричного імпульсу є незначними, що відповідає роботі в ненавантаженому режимі. На рис. 4,б зображене роботу чутливого елемента у режимі проведення неруйнівного контролю. У цьому режимі чутливий елемент збуджується електричним імпульсом, при якому проходить декілька коливань п'єзоелемента, що відповідає експериментальним даним.

В реальному чутливому елементі, як правило, поряд із основною частотою коливання є присутні і додаткові частоти. Ці додаткові частоти можуть вносити завади в зондуючий сигнал акустичної частини чутливого елемента як в режимі випромінювання, так і в режимі приймання акустичного сигналу. З метою проведення аналізу роботи чутливого елемента

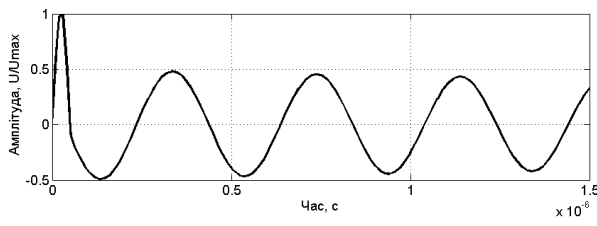
із присутніми бічними додатковими частотами удосконалимо електричну схему-аналог роботи чутливого елемента (рис.5).



a)



б)



в)

a) – $R_I = 25 \text{ Ом}$; б) – $R_I = 250 \text{ Ом}$; в) – $R_I = 2500 \text{ Ом}$

Рисунок 4 - Форма ультразвукового сигналу на виході із чутливого елемента

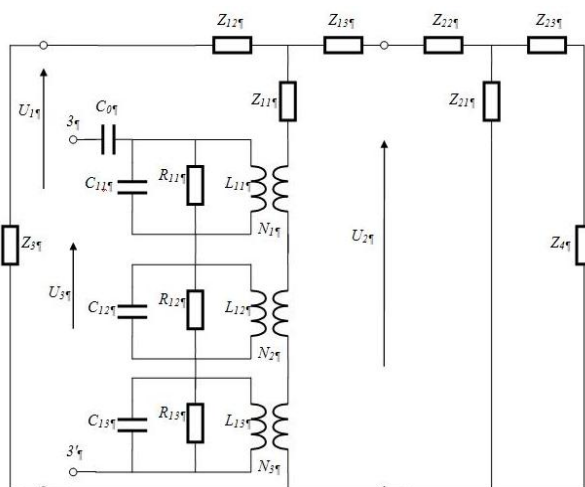


Рисунок 5 - Електрична схема-аналог чутливого елемента ультразвукового первинного перетворювача

Для побудови амплітудно-частотної характеристики схеми, зображененої на рис. 5, враховані наступні залежності [7]:

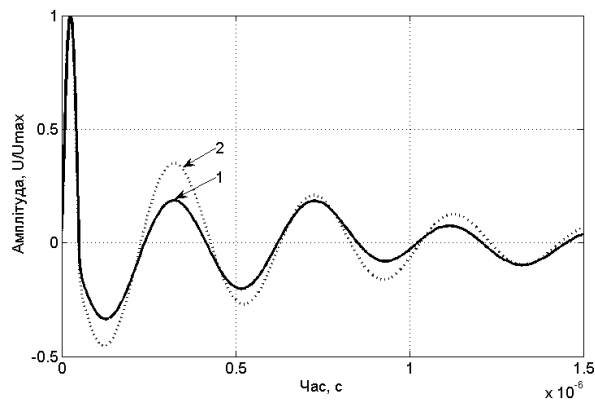
– вхідний опір на клемах 3-3' (рис. 5)

$$Z_3 = \frac{1}{j\omega C_0} \left[1 - \sum_n k_{eff,n}^2 + \sum_n \frac{j\omega k_{eff,n}^2}{(\omega_{0n}^2 - \omega^2)C_0} \right] = \\ = \frac{1 - k_T^2}{j\omega C_0} + \sum_n \frac{j\omega k_{eff,n}^2}{(\omega_{0n}^2 - \omega^2)C_0} \quad (7)$$

– для спрощення опір Z_3 можна визначити так:

$$Z_3 \approx \frac{1 - k_T^2}{j\omega C_0} + \frac{8}{\pi^2} \frac{j\omega k_T^2 / C_0}{\omega_0^2 - \omega^2}. \quad (8)$$

Результатуючий сигнал на виході переходного шару чутливого елемента з урахуванням бічних гармонік представлений на рис. 6, з якого можна побачити, що вплив бічних гармонік змінює амплітуду вихідного сигналу, перерозподіляючи його енергію між періодами коливань. Це дозволяє проводити більш точний аналіз луносингулу.



1 – вихідний сигнал, який сформований трьома резонансними контурами; 2 – одним контуром

Рисунок 6 - Форма ультразвукового сигналу на виході із чутливого елементу

ВИСНОВКИ

Вдосконалена модель ультразвукового первинного перетворювача, яка представлена у вигляді електричної схеми-аналога і полягає в урахуванні демпфувальних параметрів коливання п'езопластини та наявності серії бічних резонансних частот. Це дає можливість більш точно враховувати вплив амплітудно-частотної характеристики акустичного тракту на ультразвуковий сигнал, підвищити точність визначення його параметрів.

1. Лютак І. З. Дослідження імпульсного режиму роботи ультразвукового перетворювача / І. З. Лютак, І. С. Кісіль // Техніческая диагностика и неразрушающий контроль. – 2003. – №1. – С. 42 – 45. 2. Домаркас В. Й. Ультразвуковая эхоскопия / В. Й. Домаркас, Э. Л. Пилецкас. – Л.: Машиностроение, 1972. – №3. – С. 45–52. 3. Касаткин Б. А. Об одном способе перестройки рабочей частоты тъезопреобразователя/ Б. А. Касаткин, Н. Я. Павин // Дефектоскопия. – 1980. – №1. – С. 17 – 21. 4. Гитис М. Б. Применение теоремы об эквивалентном генераторе для расчета прямых тъезоэлектрических преобразователей / М. Б. Гитис, В. А. Чуприн // Дефектоскопия. – 1987. – №1. – С. 9 – 14. 5. Мельканович А. Ф.

Исследование спектральных и временных характеристик информативных сигналов ультразвуковых дефектоскопов / А. Ф. Мельканович, Л. М. Куцикулей, И. И. Арбит // Дефектоскопия. – 1986. – №5. – С. 11 – 18. 6. Физическая акустика: т. 1. / Н. Мезон. – М.: Мир, 1966 – 592 с. 7. Петров П.Н. Акустика. Электроакустические преобразователи: учебн. пособие / П. Н. Петров. – СПб.: СПбГУАП, 2003. – 80 с.

Поступила в редакцію 08.12.2009р.

Рекомендував до друку докт. техн. наук, проф. Заміховський Л. М.